

AKTUALIZACJA DANYCH INSTALACJI PO WPROWADZENIU ZMIANY NIEISTOTNEJ**I. Wypełnia podmiot prowadzący instalację dokonujący jej zgłoszenia**

1. Nazwa i adres organu ochrony środowiska właściwego do przyjęcia zgłoszenia

Starostwo Powiatowe w Gołdapi
Wydział Budownictwa, Inwestycji i Ochrony Środowiska
19-500 Gołdap
Ul. Krótka 1

2. Nazwa instalacji zgodna z nazewnictwem stosowanym przez prowadzącego instalację

GDP0002_A (zgłoszenie nr 9)

3. Określenie nazw jednostek terytorialnych (gmin, powiatów i województw), na których terenie znajduje się instalacja, wraz z podaniem symboli NTS jednostek terytorialnych, na których terenie znajduje się instalacja.
woj. WARMIŃSKO-MAZURSKIE 2.6.28 (TERYT: 28) (KTS: 10042800000000), pow. gołdapski 4.6.28.55.18 (TERYT: 2818) (KTS: 10042815518000), gm. Gołdap 5.6.28.55.18.03.3 (TERYT: 2818033) (KTS: 10042815518033)

4. Oznaczenie prowadzącego instalację, jego adres zamieszkania lub siedziby

P4 Sp. z o.o., ul Wynałazek 1, 02-677 Warszawa

5. Adres zakładu, na którego terenie prowadzona jest eksploatacja instalacji

19-500 Gołdap, Polna 2A, dz. nr 1215/3, gm. Gołdap, pow. gołdapski

6. Rodzaj instalacji zgodnie z załącznikiem nr 2 rozporządzenia Ministra Środowiska z dnia 2 lipca 2010r. w sprawie zgłoszenia instalacji wytwarzających pola elektromagnetyczne (Dz. U. nr 130, poz. 879).
Instalacja radiokomunikacyjna, której moc promieniowana izotropowo wynosi nie mniej niż 15W, emitująca pola elektromagnetyczne o częstotliwościach od 30 kHz do 300 GHz.

7. Rodzaj i zakres prowadzonej działalności, w tym wielkość produkcji lub wielkość świadczonych usług.

Usługi telekomunikacyjne bez prowadzenia produkcji. Wielkość świadczonych usług: usługi telekomunikacyjne dla ilości do 2000 użytkowników jednocześnie.

8. Czas funkcjonowania instalacji (dni tygodnia i godziny)

Wszystkie dni tygodnia, 24 godziny na dobę.

9. Emisja pola elektromagnetycznego o równoważnych mocach promieniowanych izotropowo (EIRP) poszczególnych anten:

Antena Sektorowa 11_L: 15556W
Antena Sektorowa 12_HN: 15556W
Antena Sektorowa 13_GHT: 14472W
Antena Sektorowa 21_L: 15556W
Antena Sektorowa 22_HN: 15556W
Antena Sektorowa 23_GHT: 14472W
Antena Sektorowa 31_L: 15556W
Antena Sektorowa 32_HN: 15556W
Antena Sektorowa 33_GHT: 14472W
Radiolinia RL1: 1514W
Radiolinia RL2: 8822W
Radiolinia RL3: 12589W
Radiolinia RL4: 3715W
Radiolinia RL5: 7586W
Radiolinia RL6: 1514W
Radiolinia RL7: 8822W
Radiolinia RL8: 1413W

10. Opis stosowanych metod ograniczenia emisji

Instalacja ogranicza wielkość emisji w sposób automatyczny do wartości nie większych niż niezbędne do zapewnienia obsługi użytkowników sieci. Metoda zgodna z zasadą działania systemu telefonii komórkowej określona odpowiednimi normami.

11. Informacja czy stopień ograniczenia wielkości emisji jest zgodny z obowiązującymi przepisami

Konstrukcja stacji ogranicza wielkość emisji, tak że obowiązujące przepisy i normy dotyczące pól elektromagnetycznych są zachowane.

12. Szczegółowe dane odpowiednio do rodzaju instalacji zgodnie z wymaganiami określonymi w załączniku 2 do rozporządzenia, które utraciło moc dnia 1 stycznia 2021 roku.

LP 1. Współrzędne geograficzne anten instalacji:

Antena Sektorowa 11_L: (22°18'16.1"E, 54°18'06.2"N)
Antena Sektorowa 12_HN: (22°18'16.1"E, 54°18'06.2"N)
Antena Sektorowa 13_GHT: (22°18'16.1"E, 54°18'06.2"N)
Antena Sektorowa 21_L: (22°18'16.1"E, 54°18'06.2"N)
Antena Sektorowa 22_HN: (22°18'16.1"E, 54°18'06.2"N)
Antena Sektorowa 23_GHT: (22°18'16.1"E, 54°18'06.2"N)

| | |
|-------|---|
| | <p>Antena Sektorowa 31_L: (22°18'16.1"E,54°18'06.2"N) Antena Sektorowa 32_HN: (22°18'16.1"E,54°18'06.2"N) Antena Sektorowa 33_GHT: (22°18'16.1"E,54°18'06.2"N) Radiolinia RL1: (22°18'16.2"E,54°18'06.2"N) Radiolinia RL2: (22°18'16.2"E,54°18'06.2"N) Radiolinia RL3: (22°18'16.2"E,54°18'06.2"N) Radiolinia RL4: (22°18'16.2"E,54°18'06.2"N) Radiolinia RL5: (22°18'16.2"E,54°18'06.2"N) Radiolinia RL6: (22°18'16.2"E,54°18'06.2"N) Radiolinia RL7: (22°18'16.2"E,54°18'06.2"N) Radiolinia RL8: (22°18'16.2"E,54°18'06.2"N)</p> |
| LP 2. | <p>Częstotliwość pracy instalacji: 900MHz,1800MHz,2100MHz,2600MHz,13GHz,23GHz,80GHz</p> |
| LP 3. | <p>Wysokość środków elektrycznych anten nad poziomem terenu: Antena Sektorowa 11_L: 59,30m Antena Sektorowa 12_HN: 59,30m Antena Sektorowa 13_GHT: 59,30m Antena Sektorowa 21_L: 59,30m Antena Sektorowa 22_HN: 59,30m Antena Sektorowa 23_GHT: 59,30m Antena Sektorowa 31_L: 59,30m Antena Sektorowa 32_HN: 59,30m Antena Sektorowa 33_GHT: 59,30m Radiolinia RL1: 56,60m Radiolinia RL2: 56,50m Radiolinia RL3: 56,50m Radiolinia RL4: 55,20m Radiolinia RL5: 55,20m Radiolinia RL6: 55,20m Radiolinia RL7: 55,20m Radiolinia RL8: 56,50m</p> |
| LP 4. | <p>Emisja pola elektromagnetycznego o równoważnych mocach promieniowanych izotropowo (EIRP) poszczególnych anten: Antena Sektorowa 11_L: 15556W Antena Sektorowa 12_HN: 15556W Antena Sektorowa 13_GHT: 14472W Antena Sektorowa 21_L: 15556W Antena Sektorowa 22_HN: 15556W Antena Sektorowa 23_GHT: 14472W Antena Sektorowa 31_L: 15556W Antena Sektorowa 32_HN: 15556W Antena Sektorowa 33_GHT: 14472W Radiolinia RL1: 1514W Radiolinia RL2: 8822W Radiolinia RL3: 12589W Radiolinia RL4: 3715W Radiolinia RL5: 7586W Radiolinia RL6: 1514W Radiolinia RL7: 8822W Radiolinia RL8: 1413W</p> |
| LP 5. | <p>Zakresy azymutów i kątów pochylenia osi głównych wiązek promieniowania poszczególnych anten Instalacji: Antena Sektorowa 11_L: azymut 50° , pochylenie 0-6° (1800MHz), pochylenie 0-6° (2100MHz) Antena Sektorowa 12_HN: azymut 50° , pochylenie 0-6° (1800MHz), pochylenie 0-6° (2100MHz) Antena Sektorowa 13_GHT: azymut 50° , pochylenie 0-10° (900MHz), pochylenie 0-10° (2600MHz) Antena Sektorowa 21_L: azymut 170° , pochylenie 0-6° (1800MHz), pochylenie 0-6° (2100MHz) Antena Sektorowa 22_HN: azymut 170° , pochylenie 0-6° (1800MHz), pochylenie 0-6° (2100MHz) Antena Sektorowa 23_GHT: azymut 170° , pochylenie 0-10° (900MHz), pochylenie 0-10° (2600MHz) Antena Sektorowa 31_L: azymut 290° , pochylenie 0-6° (1800MHz), pochylenie 0-6° (2100MHz) Antena Sektorowa 32_HN: azymut 290° , pochylenie 0-6° (1800MHz), pochylenie 0-6° (2100MHz) Antena Sektorowa 33_GHT: azymut 290° , pochylenie 0-10° (900MHz), pochylenie 0-10° (2600MHz) Radiolinia RL1: azymut 50° +/-30° , pochylenie 0°</p> |

| | |
|--|---|
| | <i>Radiolinia RL2: azymut 85° +/-30°, pochylenie 0° Radiolinia RL3: azymut 89° +/-30°, pochylenie 0° Radiolinia RL4: azymut 178° +/-30°, pochylenie 0° Radiolinia RL5: azymut 178° +/-30°, pochylenie 0° Radiolinia RL6: azymut 295° +/-30°, pochylenie 0° Radiolinia RL7: azymut 335° +/-30°, pochylenie 0° Radiolinia RL8: azymut 355° +/-30°, pochylenie 0°</i> |
| LP 6. | <i>Niniejsza instalacja radiokomunikacyjna nie zalicza się do przedsięwzięć, o których mowa w przepisach wydanych na podstawie art. 60 ustawy z dnia 3 października 2008 r. o udostępnianiu informacji o środowisku i jego ochronie, udziale społeczeństwa w ochronie środowiska oraz o ocenach oddziaływania na środowisko – podobnie jak każda inna instalacja radiokomunikacyjna (co jest skutkiem uchylecia ze skutkiem od dnia 4 czerwca 2022 roku przepisów § 2 ust. 1 pkt 7) oraz § 3 ust. 1 pkt 8) rozporządzenia w sprawie przedsięwzięć mogących znacząco oddziaływać na środowisko, na podstawie rozporządzenia Rady Ministrów z dnia 5 maja 2022r. zmieniającego rozporządzenie w sprawie przedsięwzięć mogących znacząco oddziaływać na środowisko; Dz. U. 2022 poz. 1071 z dnia 20 maja 2022r.)</i> |
| LP 7. | <i>Sprawozdanie z wykonanych pomiarów poziomów pól elektromagnetycznych, o których mowa w art. 122a ust. 1 pkt 1) Prawa ochrony środowiska – jako załącznik.</i> |
| 13. Miejscowość, data: <i>Gdańsk, 2023-06-07</i> Imię i nazwisko osoby reprezentującej prowadzącego instalację: <i>Magdalena Sokół</i> Podpis: | |
| II. Wypełnia organ ochrony środowiska przyjmujący zgłoszenie | |
| Data zarejestrowania zgłoszenia | Numer zgłoszenia |



Laboratorium EMVO Sp. J. Urbański, Pawełak

ul. Jasna 1
00-013 Warszawa

tel. +48 22 780 29 64

e-mail: laboratorium@emvo.pl



AB 1630

Sprawozdanie z pomiarów pól elektromagnetycznych - środowisko nr 50/05/OŚ/2023-P4



| | | |
|--------------------------|--|---------------------------------|
| Nr i nazwa stacji | GDP0002A | |
| Adres | Gołdap, Polna 2A, dz. nr 1215/3, pow. gołdapski, woj. warmińsko-mazurskie | |
| Opracowanie | Wiesław Laskowski | Specjalista ds. pomiarów |
| Autoryzacja | Andrzej Urbański | Kierownik Laboratorium |
| Podpis | | |
| Data | 2023-05-30 | |

Spis treści

| | |
|---|---|
| 1. Informacje ogólne..... | 3 |
| 2. Podstawa prawna. | 3 |
| 3. Opis pomiarów..... | 3 |
| 4. Zróżnicowanie dopuszczalne poziomy pól elektromagnetycznych..... | 4 |
| 5. Charakterystyka źródeł PEM..... | 5 |
| 6. Wyniki pomiarów..... | 6 |
| 7. Stwierdzenie zgodności | 7 |
| 8. Oświadczenie..... | 7 |
| 9. Spis załączników. | 8 |

1. Informacje ogólne.

| | |
|---|--|
| Zleceniodawca | P4 Sp. z o.o. , ul. Wynałazek 1, 02-677 Warszawa osoba udzielająca informacji – Magdalena Sokół |
| Istotne informacje dostarczone przez klienta | komplet informacji niezbędnych do wykonania pomiarów i opracowania sprawozdania |
| Dane otrzymane od klienta mogące mieć wpływ na ważność wyników | dane anten sektorowych, dane anten radioliniowych, parametry pracy instalacji, ustawienie pochylenia anten |
| Prowadzący instalację | P4 sp. z o.o. , ul. Wynałazek 1, 02-677 Warszawa |
| Lokalizacja obiektu | Gołdap, Polna 2A, dz. nr 1215/3, pow. gołdapski, woj. warmińsko-mazurskie |
| Miejsce instalacji anten | wieża kratowa |
| Miejsce instalacji urządzeń | outdoor |
| Osoby wykonujące pomiar | Wojciech Kaczorek - pomiarowiec |
| Data wykonania pomiaru | 2023-05-30 |
| Godzina rozpoczęcia pomiaru | 17.20 |
| Godzina zakończenia pomiaru | 19.00 |
| Temperatura na początku pomiaru [°C] | 18 |
| Temperatura na koniec pomiaru [°C] | 18 |
| Warunki atmosferyczne | brak opadów |
| Wilgotność na początku pomiaru [%] | 35 |
| Wilgotność na koniec pomiaru [%] | 35 |
| Inne źródła pól elektromagnetycznych oznaczone na załączniku graficznym | występują |
| Parametry pracy instalacji | tryb eksploatacyjny |

2. Podstawa prawna.

2.1 Normy i rozporządzenia:

- Obwieszczenie Ministra Klimatu i Środowiska z dnia 21 listopada 2022 r. w sprawie ogłoszenia jednolitego tekstu rozporządzenia Ministra Klimatu w sprawie sposobów sprawdzania dotrzymania dopuszczalnych poziomów pól elektromagnetycznych w środowisku (Dz.U. 2022 poz. 2630)
- Rozporządzenie Ministra Zdrowia z dnia 17 grudnia 2019 r. w sprawie dopuszczalnych poziomów pól elektromagnetycznych w środowisku (Dz.U. 2019 poz. 2448)
- Obwieszczenie Marszałka Sejmu Rzeczypospolitej Polskiej z dnia 1 grudnia 2022 r. w sprawie ogłoszenia jednolitego tekstu ustawy - Prawo ochrony środowiska (Dz.U. 2022 poz. 2556).

3. Opis pomiarów

Metodologia pomiarowa Pomiary w oparciu o Rozporządzenie Ministra Klimatu z dnia 17 lutego 2020 r. w sprawie sposobów sprawdzania dotrzymania dopuszczalnych poziomów pól elektromagnetycznych w środowisku (Dz.U. 2022 poz. 2630).

Cel badań Określenie wartości natężenia pola elektrycznego w miejscach dostępnych dla ludności.

| | |
|---|---|
| Opis zestawu pomiarowego | <p>Miernik Narda NBM 550, Sonda EF9091, o zakresie pomiarowym 0,7 V/m - 300V/m pracująca w paśmie 0,1 – 90 GHz, świadectwo wydane przez Laboratorium Wzorców i Metrologii Pola Elektromagnetycznego, Instytut Telekomunikacji, Teleinformatyki i Akustyki Politechniki Wrocławskiej. Świadectwo ważne do 10.06.2024r.</p> <p>Miernik Narda NBM 550, Sonda EF9091 pracująca w zakresie temperatury -10°C +50°C oraz wilgotności 5% - 95%.</p> <p>Niepewność rozszerzona 59 % przy poziomie ufności 95% z uwzględnieniem współczynnika rozszerzenia k=2.</p> |
| Wyposażenie pomocnicze | <p>Termohigrometr Termoprodukt, typ: Termik+, Nr. inwentarzowy 43/WL, nr identyfikacyjny 1530619, świadectwo wzorcowania nr 0392/AH/20 z dn. 02.03.2020 r. wydane przez Laboratorium Pomiarowe "MUTECH".</p> <p>Dalmierz laserowy BOSH GLM 40, Nr. inwentarzowy 27/WL, nr seryjny 711425432, Świadectwo wzorcowania L4-L41.4180.141.2018.3061.1 z dnia 12 września 2018 wydane przez Pracownia Długości Samodzielnego Laboratorium Długości w Głównym Urzędzie Miar.</p> <p>GPS Garmin 64s okresowo sprawdzany w punktach osnowy geodezyjnej klasy 3 na podstawie licencji punktu, zgodnie z procedurą sprawdzeń okresowych IS/PO16-11/03.</p> |
| Pomiary zostały wykonane | <ol style="list-style-type: none"> na głównych i pomocniczych kierunkach pomiarowych, na kierunkach zbliżonych do azymutów anten oraz w dodatkowych pionach pomiarowych zgodnie z wymaganiami pkt 12, 13, 14 i 19 Rozporządzenia Ministra Klimatu z dnia 17 lutego 2020 r. (Dz.U. 2022 poz. 2630). na obszarze pomiarowym, dla którego, na podstawie uprzednio przeprowadzonych obliczeń stwierdzono w miejscach dostępnych dla ludności występowanie pól elektromagnetycznych o najwyższym poziomie, które pochodzą z badanej instalacji zgodnie z wymaganiami pkt 5 ppkt 2 oraz pkt 13 ppkt 1 Rozporządzenia Ministra Klimatu z dnia 17 lutego 2020 r. w sprawie sposobów sprawdzania dotrzymania dopuszczalnych poziomów pól elektromagnetycznych w środowisku (Dz.U. 2022 poz. 2630). Wyniki obliczeń nie uwzględniały parametrów pracy instalacji innych operatorów występujących na obiekcie bądź w obszarze pomiarowym. w miejscach dostępnych dla ludności. miejsca niedostępne podczas wykonywania pomiarów wskazane zostały w pkt 6 (tabeli wyniki pomiarów). |
| Szczególne warunki podczas wykonywania pomiarów | Pomiary wykonane zostały podczas obowiązywania w kraju stanu zagrożenia epidemicznego, zgodnie z art. 122a ust. 1b Ustawy z dnia 27 kwietnia 2001 r. – Prawo ochrony środowiska (Dz. U. z 2019 r. poz. 1396, z późn. zm.9)) |
| Warunki pracy urządzeń nadawczych | Tryb pracy eksploatacyjny. |

4. Zróżnicowanie dopuszczalne poziomy pól elektromagnetycznych.

Zakresy znajdują się w Dzienniku Ustaw z dnia 17 grudnia 2019 r. przedstawione są w tabeli nr 2 (Dz. U. z 2019r. poz. 2448).

| Zakres częstotliwości pola elektromagnetycznego | Parametr fizyczny | | |
|---|------------------------------|------------------------------|------------------------------------|
| | Składowa elektryczna E (V/m) | Składowa magnetyczna H (A/m) | Gęstość mocy S (W/m ²) |
| od 400 MHz do 2000 MHz | $1,375 \times f^{0,5}$ | $0,0037 \times f^{0,5}$ | f / 200 |
| od 2 GHz do 300 GHz | 61 | 0,16 | 10 |

5. Charakterystyka źródeł PEM.

Zgodnie z informacją otrzymaną od klienta pomiary zostały wykonane przy ustawieniach pochylenia anten zgodnych z pkt. 13, ppkt 2 załącznika do rozporządzenia Ministra Klimatu z dnia 17 lutego 2020 roku.

Tabela 1. Anteny sektorowe - dane otrzymane od klienta

| | | | | | | | | | | | | | | | | | | | |
|--|---|-----------------------------------|-----------|-----------|------------------|------------|------------|-------------------|-----------|-----------|------------------|------------|------------|------------------|-----------|-----------|-------------------|------------|------------|
| Charakterystyka promieniowania | | kierunkowa | | | | | | | | | | | | | | | | | |
| Rzeczywisty czas pracy [h/dobę] | | 24 | | | | | | | | | | | | | | | | | |
| Rodzaj wytwarzanego pola | | stacjonarne | | | | | | | | | | | | | | | | | |
| Lp | Wyszczególnienie | sektor 1 | | | | | | sektor 2 | | | | | | sektor 3 | | | | | |
| I Nadajnik stacji bazowej: | | | | | | | | | | | | | | | | | | | |
| 1 | Typ / Producent | DBS/RBS / Overlay Huawei/Ericsson | | | | | | | | | | | | | | | | | |
| 2 | Częstotliwość (pasmo) MHz | 2100 | 1800 | 2100 | 1800 | 2600 | 900 | 2100 | 1800 | 2100 | 1800 | 2600 | 900 | 2100 | 1800 | 2100 | 1800 | 2600 | 900 |
| 3 | Maksymalna moc nadawana na sektor [dBm] | 50 | 50 | 50 | 50 | 52,04 | 47,78 | 50 | 50 | 50 | 50 | 52,04 | 47,78 | 50 | 50 | 50 | 50 | 52,04 | 47,78 |
| II Obciążenie: | | | | | | | | | | | | | | | | | | | |
| 1 | Typ anteny | Huawei A19451902 | | | Huawei A19451902 | | | Huawei ATR4518R11 | | | Huawei A19451902 | | | Huawei A19451902 | | | Huawei ATR4518R11 | | |
| 2 | Producent anteny | Huawei | | | Huawei | | | Huawei | | | Huawei | | | Huawei | | | Huawei | | |
| 3 | Ilość anten | 1 | | | 1 | | | 1 | | | 1 | | | 1 | | | 1 | | |
| 4 | Azymut | 50 | | | | | | 170 | | | | | | 290 | | | | | |
| 5 | Zakres kątów pochylenia anten [°] | 0,00-6,00 | 0,00-6,00 | 0,00-6,00 | 0,00-6,00 | 0,00-10,00 | 0,00-10,00 | 0,00-6,00 | 0,00-6,00 | 0,00-6,00 | 0,00-6,00 | 0,00-10,00 | 0,00-10,00 | 0,00-6,00 | 0,00-6,00 | 0,00-6,00 | 0,00-6,00 | 0,00-10,00 | 0,00-10,00 |
| 6 | Średnie pochylenie anten (ustawione do pomiarów PEM) [°] | 3 | | | | | | 3 | | | | | | 3 | | | | | |
| 7 | Wysokość zainst. n.p.t. [m] | 59,30 | | | | | | 59,30 | | | | | | 59,30 | | | | | |
| 8 | EIRP [W] | 15556 | | | 15556 | | | 14472 | | | 15556 | | | 15556 | | | 14472 | | |

Tabela 2. Anteny radioliniowe - dane otrzymane od klienta

| | | | | | | | |
|--|----------------------|----------------------------------|----------------------------|----------------------|----------------------------|-------------------|---|
| Charakterystyka promieniowania | | | | kierunkowa | | | |
| Rzeczywisty czas pracy [h/dobę] | | | | 24 | | | |
| Rodzaj wytwarzanego pola | | | | stacjonarne | | | |
| Lp. | Linia radiowa | | | Antena | | | |
| | typ/producent | częstotliwość pracy [GHz] | moc wyjściowa [dBm] | typ/producent | średnica anteny [m] | azymut [°] | wysokość zainstalowania n.p.t. [m] (środek elektryczny anteny) |
| 1 | OPTIX RTN/HUAWEI | 80 | 18 | A80S03/Huawei | 0,3 | 50 | 56,60 |
| 2 | OPTIX RTN/HUAWEI | 80/23 | 18/25 | A23S80S06/Huawei | 0,6 | 85 | 56,50 |
| 3 | OPTIX RTN/HUAWEI | 13 | 29 | VHLPX4-13/Andrew | 1,2 | 89 | 56,50 |
| 4 | OPTIX RTN/HUAWEI | 23 | 25 | VHLP2-23/Andrew | 0,6 | 178 | 55,20 |
| 5 | OPTIX RTN/HUAWEI | 80 | 18 | VHLP2-80/Andrew | 0,6 | 178 | 55,20 |
| 6 | OPTIX RTN/HUAWEI | 80 | 18 | A80S03/Huawei | 0,3 | 295 | 55,20 |
| 7 | OPTIX RTN/HUAWEI | 80/23 | 18/25 | A23S80S06/Huawei | 0,6 | 335 | 55,20 |
| 8 | OPTIX RTN/HUAWEI | 80 | 18 | VHLP1-80/Andrew | 0,3 | 355 | 56,50 |

6. Wyniki pomiarów.

Wyniki pomiarów pól elektromagnetycznych dla celów ochrony środowiska przedstawia poniższa tabela. Piony pomiarowe zostały przedstawione w zał. 2.

| Nr PP | Pole-E [V/m] | Pole-E+U [V/m] | Pole-H [A/m] | Pole-H +U [A/m] | Wysokość pomiaru [m] | Współrzędne PP x, y | Opis PP | WM _E | WM _H |
|-------|--------------|----------------|--------------|-----------------|----------------------|----------------------------------|--|-----------------|-----------------|
| 1 | 0,7* | 1,27 | 0,002 | 0,003 | 0,3 - 2,0 | 54°18'8.29" N 22°18'20.38" E | otoczenie stacji bazowej - 100 m wzdłuż gł. osi promieniowania - GKP | 0,046 | 0,046 |
| 2 | 0,9 | 1,43 | 0,002 | 0,004 | 0,3 - 2,0 | 54°18'10.28" N 22°18'24.74" E | otoczenie stacji bazowej - 200 m wzdłuż gł. osi promieniowania - GKP | 0,052 | 0,052 |
| 3 | 0,9 | 1,43 | 0,002 | 0,004 | 0,3 - 2,0 | 54°18'12.27" N 22°18'29.09" E | otoczenie stacji bazowej - 300 m wzdłuż gł. osi promieniowania - GKP | 0,052 | 0,052 |
| 4 | 1,0 | 1,59 | 0,003 | 0,004 | 0,3 - 2,0 | 54°18'14.26" N 22°18'33.45" E | otoczenie stacji bazowej - 400 m wzdłuż gł. osi promieniowania - GKP | 0,058 | 0,058 |
| 5 | 1,0 | 1,59 | 0,003 | 0,004 | 0,3 - 2,0 | 54°18'16.26" N 22°18'37.81" E | otoczenie stacji bazowej - 500 m wzdłuż gł. osi promieniowania - GKP | 0,058 | 0,058 |
| 6 | 0,7* | 1,27 | 0,002 | 0,003 | 0,3 - 2,0 | 54°18'18.25" N 22°18'42.17" E | otoczenie stacji bazowej - 600 m wzdłuż gł. osi promieniowania - GKP | 0,046 | 0,046 |
| 7 | 0,7* | 1,27 | 0,002 | 0,003 | 0,3 - 2,0 | 54°18'3.1" N 22°18'16.79" E | otoczenie stacji bazowej - 100 m wzdłuż gł. osi promieniowania - GKP | 0,046 | 0,046 |
| 8 | 0,7* | 1,27 | 0,002 | 0,003 | 0,3 - 2,0 | 54°17'59.89" N 22°18'17.56" E | otoczenie stacji bazowej - 200 m wzdłuż gł. osi promieniowania - GKP | 0,046 | 0,046 |
| 9 | 0,7* | 1,27 | 0,002 | 0,003 | 0,3 - 2,0 | 54°17'56.69" N 22°18'18.33" E | otoczenie stacji bazowej - 300 m wzdłuż gł. osi promieniowania - GKP | 0,046 | 0,046 |
| 10 | 0,7* | 1,27 | 0,002 | 0,003 | 0,3 - 2,0 | 54°17'53.49" N 22°18'19.1" E | otoczenie stacji bazowej - 400 m wzdłuż gł. osi promieniowania - GKP | 0,046 | 0,046 |
| 11 | 0,7* | 1,27 | 0,002 | 0,003 | 0,3 - 2,0 | 54°17'50.29" N 22°18'19.87" E | otoczenie stacji bazowej - 500 m wzdłuż gł. osi promieniowania - GKP | 0,046 | 0,046 |
| 12 | 0,7* | 1,27 | 0,002 | 0,003 | 0,3 - 2,0 | 54°17'47.08" N 22°18'20.64" E | otoczenie stacji bazowej - 600 m wzdłuż gł. osi promieniowania - GKP | 0,046 | 0,046 |
| 13 | 0,7* | 1,27 | 0,002 | 0,003 | 0,3 - 2,0 | 54°18'7.51" N 22°18'10.89" E | otoczenie stacji bazowej - 100 m wzdłuż gł. osi promieniowania - GKP | 0,046 | 0,046 |
| 14 | 0,8 | 1,27 | 0,002 | 0,003 | 0,3 - 2,0 | 54°18'8.72" N 22°18'5.77" E | otoczenie stacji bazowej - 200 m wzdłuż gł. osi promieniowania - GKP | 0,046 | 0,046 |
| 15 | 0,9 | 1,43 | 0,002 | 0,004 | 0,3 - 2,0 | 54°18'9.93" N 22°18'0.64" E | otoczenie stacji bazowej - 300 m wzdłuż gł. osi promieniowania - GKP | 0,052 | 0,052 |
| 16 | 0,8 | 1,27 | 0,002 | 0,003 | 0,3 - 2,0 | 54°18'11.15" N 22°17'55.51" E | otoczenie stacji bazowej - 400 m wzdłuż gł. osi promieniowania - GKP | 0,046 | 0,046 |
| 17 | 0,7* | 1,27 | 0,002 | 0,003 | 0,3 - 2,0 | 54°18'12.36" N 22°17'50.38" E | otoczenie stacji bazowej - 500 m wzdłuż gł. osi promieniowania - GKP | 0,046 | 0,046 |
| 18 | 0,7* | 1,27 | 0,002 | 0,003 | 0,3 - 2,0 | 54°18'13.57" N 22°17'45.26" E | otoczenie stacji bazowej - 600 m wzdłuż gł. osi promieniowania - GKP | 0,046 | 0,046 |
| 19 | 0,7* | 1,27 | 0,002 | 0,003 | 0,3 - 2,0 | 54°18'6.38" N 22°18'18.78" E | otoczenie stacji bazowej - 50 m wzdłuż gł. osi promieniowania - GKP | 0,046 | 0,046 |
| 20 | 0,8 | 1,27 | 0,002 | 0,003 | 0,3 - 2,0 | 54°18'6.47" N 22°18'21.54" E | otoczenie stacji bazowej - 100 m wzdłuż gł. osi promieniowania - GKP | 0,046 | 0,046 |
| 21 | 0,7* | 1,27 | 0,002 | 0,003 | 0,3 - 2,0 | 54°18'4.68" N 22°18'16.02" E | otoczenie stacji bazowej - 50 m wzdłuż gł. osi promieniowania - GKP | 0,046 | 0,046 |
| 22 | 0,7* | 1,27 | 0,002 | 0,003 | 0,3 - 2,0 | 54°18'3.07" N 22°18'16.02" E | otoczenie stacji bazowej - 100 m wzdłuż gł. osi promieniowania - GKP | 0,046 | 0,046 |
| 23 | 0,7* | 1,27 | 0,002 | 0,003 | 0,3 - 2,0 | 54°18'7.03" N 22°18'13.56" E | otoczenie stacji bazowej - 50 m wzdłuż gł. osi promieniowania - GKP | 0,046 | 0,046 |
| 24 | 0,7* | 1,27 | 0,002 | 0,003 | 0,3 - 2,0 | 54°18'7.77" N 22°18'11.09" E | otoczenie stacji bazowej - 100 m wzdłuż gł. osi promieniowania - GKP | 0,046 | 0,046 |
| 25 | 0,7* | 1,27 | 0,002 | 0,003 | 0,3 - 2,0 | 54°18'7.79" N 22°18'14.94" E | otoczenie stacji bazowej - 50 m wzdłuż gł. osi promieniowania - GKP | 0,046 | 0,046 |
| 26 | 0,7* | 1,27 | 0,002 | 0,003 | 0,3 - 2,0 | 54°18'9.28" N 22°18'13.86" E | otoczenie stacji bazowej - 100 m wzdłuż gł. osi promieniowania - GKP | 0,046 | 0,046 |
| 27 | 0,7* | 1,27 | 0,002 | 0,003 | 0,3 - 2,0 | 54°18'7.91" N 22°18'15.88" E | otoczenie stacji bazowej - 50 m wzdłuż gł. osi promieniowania - GKP | 0,046 | 0,046 |

„Bez pisemnej zgody Laboratorium niniejsze sprawozdanie nie może być powielane inaczej, jak tylko w całości. Ponadto wyniki dotyczą tylko badanych obiektów przywołanych w niniejszym sprawozdaniu z badań”

| Nr PP | Pole-E [V/m] | Pole-E+U [V/m] | Pole-H [A/m] | Pole-H +U [A/m] | Wysokość pomiaru [m] | Współrzędne PP x, y | Opis PP | WM _E | WM _H |
|-------|--------------|----------------|--------------|-----------------|----------------------|---------------------------------|--|-----------------|-----------------|
| 28 | 0,7* | 1,27 | 0,002 | 0,003 | 0,3 - 2,0 | 54°18'9.53" N 22°18'15.73" E | otoczenie stacji bazowej - 100 m wzdłuż gł. osi promieniowania - GKP | 0,046 | 0,046 |
| 29 | 1,0 | 1,59 | 0,003 | 0,004 | 0,3 - 2,0 | 54°18'4.68" N 22°18'11.23" E | otoczenie stacji bazowej - PKP | 0,058 | 0,058 |
| A | 1,0 | 1,59 | 0,003 | 0,004 | 0,3 - 2,0 | 54°18'13.3" N 22°18'30.5" E | ul. Wileńska 10 - DPP | 0,058 | 0,058 |
| B | 0,9 | 1,43 | 0,002 | 0,004 | 0,3 - 2,0 | 54°18'13.9" N 22°18'33.8" E | ul. Wileńska 13,15 - DPP | 0,052 | 0,052 |
| C | 0,9 | 1,43 | 0,002 | 0,004 | 0,3 - 2,0 | 54°18'10.1" N 22°18'0.1" E | ul. Wojska Polskiego 12 - DPP | 0,052 | 0,052 |
| D | 0,8 | 1,27 | 0,002 | 0,003 | 0,3 - 2,0 | 54°18'7.6" N 22°17'50.9" E | ul. Wojska Polskiego 14c - DPP | 0,046 | 0,046 |

Wynik pomiaru pole - E [V/m] - maksymalna wartość chwilowa zmierzona w danym pionie pomiarowym (uśredniona na podstawie punktu 11 załącznika do Rozporządzenia Ministra Klimatu z dnia 17 lutego 2020 r. w sprawie sposobów sprawdzania dotrzymania dopuszczalnych poziomów pól elektromagnetycznych w środowisku (Dz.U. 2022 poz. 2630). Zgodnie z pkt. 7 załącznika do Rozporządzenia Ministra Klimatu z dnia 17 lutego 2020 r. w sprawie sposobów sprawdzania dotrzymania dopuszczalnych poziomów pól elektromagnetycznych w środowisku (Dz.U. 2022 poz. 2630) nie stosuje się poprawek pomiarowych.

Przyjęto najniższą dopuszczalną wartość składowej elektrycznej pola dla objętego pomiarami zakresu częstotliwości min(ME_{gr})= 28 V/m oraz składowej magnetycznej min(MH_{gr})= 0,073 A/m.

* - wartość zmierzona poniżej zakresu akredytacji. Do obliczeń przyjęto wartość zgodną z dolną granicą akredytowanego zakresu pomiarowego metody.

GKP - główne kierunki pomiarowe

PKP - pomocnicze kierunki pomiarowe

DPP - dodatkowe punkty pomiarowe

PP - pion pomiarowy

U - niepewność pomiarowa rozszerzona, przy poziomie ufności 95%, z uwzględnieniem współczynnika rozszerzenia k=2

WM_E - wartość wskaźnikowa poziomu emisji pól elektromagnetycznych dla miejsc dostępnych dla ludności dla składowej elektrycznej pola

WM_H - wartość wskaźnikowa poziomu emisji pól elektromagnetycznych dla miejsc dostępnych dla ludności dla składowej magnetycznej pola

7. Stwierdzenie zgodności

Na podstawie wytycznych podanych w Rozporządzeniu Ministra Zdrowia z dnia 17 grudnia 2019 r. w sprawie dopuszczalnych poziomów pól elektromagnetycznych w środowisku (Dz.U. 2019 poz. 2448) oraz sposobów sprawdzania dotrzymania tych poziomów zgodnie z Rozporządzeniem Ministra Klimatu z dnia 17 lutego 2020 r. w sprawie sposobów sprawdzania dotrzymania dopuszczalnych poziomów pól elektromagnetycznych w środowisku (Dz.U. 2022 poz. 2630), dotyczących źródła wymagań, które muszą być spełnione, w oparciu o zasadę podejmowania decyzji zgodną z pkt. 26 Rozporządzenia Ministra Klimatu z dnia 17 lutego 2020 r. (Dz.U. 2022 poz. 2630), na podstawie wyników pomiarów pól elektromagnetycznych wykonanych w dniu 2023-05-30 stwierdzono, że wszystkie wyniki przeprowadzonych pomiarów w danym obszarze pomiarowym oraz wyznaczone na tej podstawie wskaźniki WME oraz WMH są mniejsze od wartości dopuszczalnych – zgodnie z przepisami wydanymi na podstawie art. 122 ust. 1 ustawy z dnia 27 kwietnia 2001 r. – Prawo ochrony środowiska – załącznikiem do Rozporządzenia Ministra Klimatu i Środowiska z dnia 17 lutego 2020 r. w sprawie sposobów sprawdzania dotrzymania dopuszczalnych poziomów pól elektromagnetycznych w środowisku (Dz.U. 2022 poz. 2630, pkt 26).

8. Oświadczenie.

Wyniki badania odnoszą się wyłącznie do badanego obiektu.

Bez pisemnej zgody sprawozdanie nie może być powielane inaczej, jak tylko w całości.

Uwagi i zastrzeżenia przyjmowane są w formie pisemnej.

9. Spis załączników.

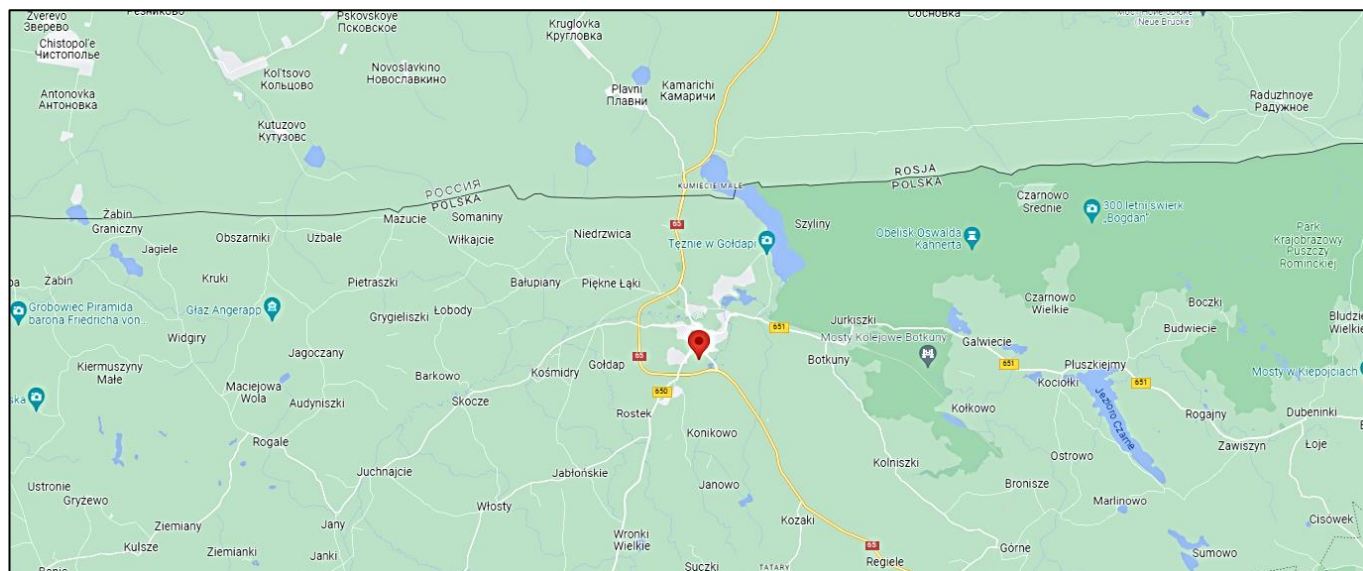
Zał. 1. Lokalizacja obiektu.

Zał. 2. Widok pionów pomiarowych

Zał. 3. Widok stacji bazowej

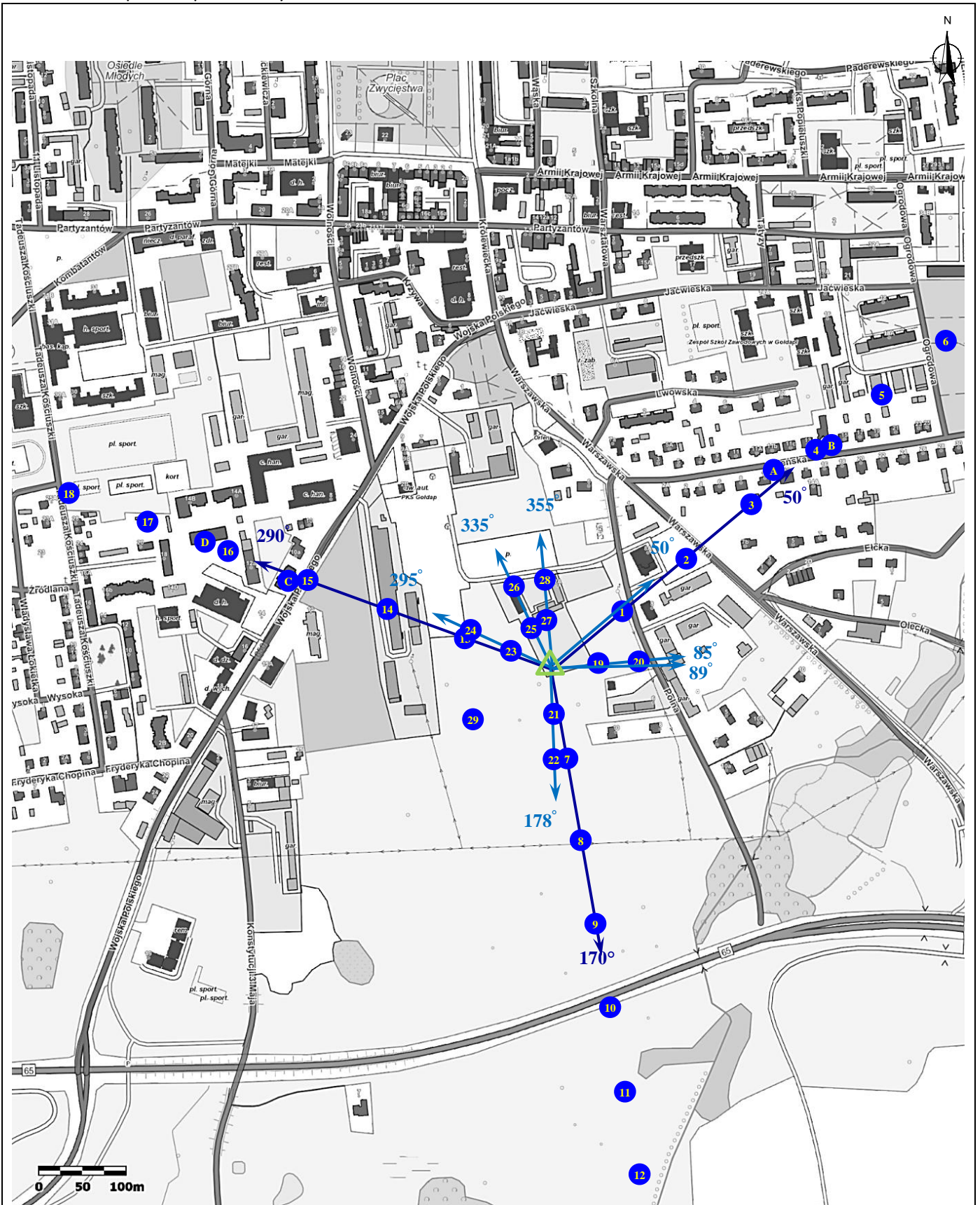
Koniec sprawozdania

Zał. 1. Lokalizacja obiektu



| Współrzędne geograficzne | |
|--------------------------|---------------|
| szerokość: | 54°18'06.16"N |
| długość: | 22°18'16.14"E |

Załącznik 2. Widok pionów pomiarowych



LEGENDA:

- inna instalacja radiokomunikacyjna
- brak dostępu
- pion pomiarowy
- antena sektorowa
- antena radioliniowa

Skala 1: 5000

Załącznik 3. Załączniki graficzne

